

Lucrarea nr. 6

Caracterizarea materialelor fero si ferimagnetice la semnal mic

1. Scopul lucrării

Lucrarea pune în evidență comportarea în frecvență a miezurilor magnetice din materiale feromagnetice și ferimagnetice, folosite în inductoare și supuse unui regim de „semnal mic”.

2. Tabelele și graficele cerute la fiecare punct împreună cu relațiile de calcul folosite

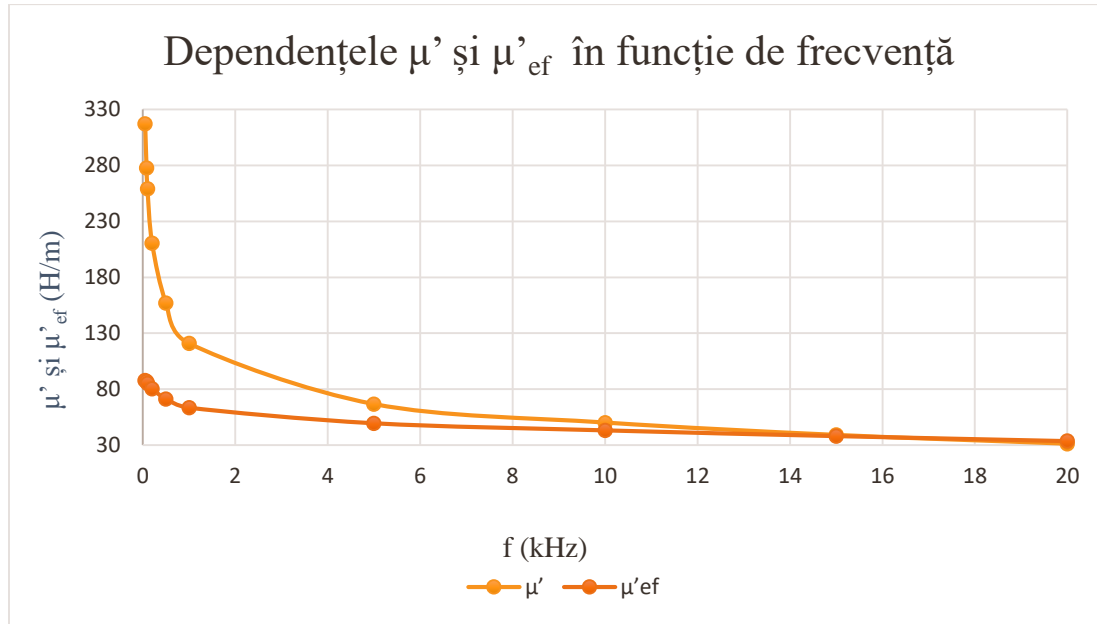
Tabel 6-1

f(kHz)		0,05	0,08	0,1	0,2	0,5	1	5	10	15	20
HL _m	L _m (mH)	610.71	534.01	500.54	407.30	302.07	237.06	134.57	95.267	72.716	57.651
	R _m (Ω)	51.269	64.423	73.353	117.78	245.36	445.42	2151	4435	6496	8326
L _{md}	L _{md} (mH)	170.14	167.14	165.03	155.16	136.17	119.18	93.68	82.219	72.785	64.351
	R _{md} (Ω)	4.845	7.097	8.681	17.251	44.880	88.147	661.76	1943	3590	5420
L _{m0}	L _{m0} (mH)	1.928	1.927	1.927	1.927	1.927	1.926	1.925	1.923	1.919	1.913
	R _{m0} (Ω)	1.652	1.652	1.652	1.651	1.656	1.674	2.232	3.939	6.698	10.390
Calcul	μ'	316,79	277,13	259,77	211,37	156,72	123,08	69,910	49,54	37,892	30,136
	μ''	81,958	64,837	59,249	47,955	40,275	36,689	35,549	36,691	35,898	34,609
	Q _m	3,865	4,274	4,384	4,407	3,89	3,354	1,966	1,35	1,055	0,87
	μ' _{ef}	88,2697	86,758	85,658	80,501	70,631	61,847	48,664	42,755	37,928	33,638
	μ'' _{ef}	5,274	5,624	5,808	6,445	7,143	7,149	10,911	0,016	0,0171	0,0206
	Q _{m,ef}	16,7359	15,425	14,747	12,489	9,887	8,65	4,46	2,5868	2,206	1,626

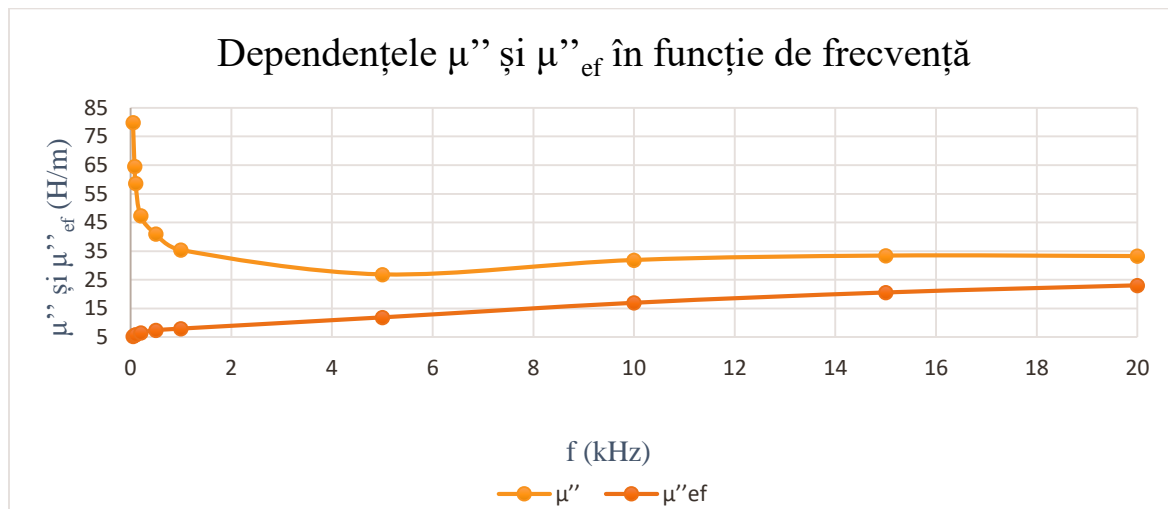
Pentru calcule am folosit formulele:

$$\omega = 2\pi f, \quad \mu' = L_m/L_{m0}, \quad \mu'' = (R_m - R_{m0})/\omega L_{m0}, \quad Q_m = \mu'/\mu'',$$

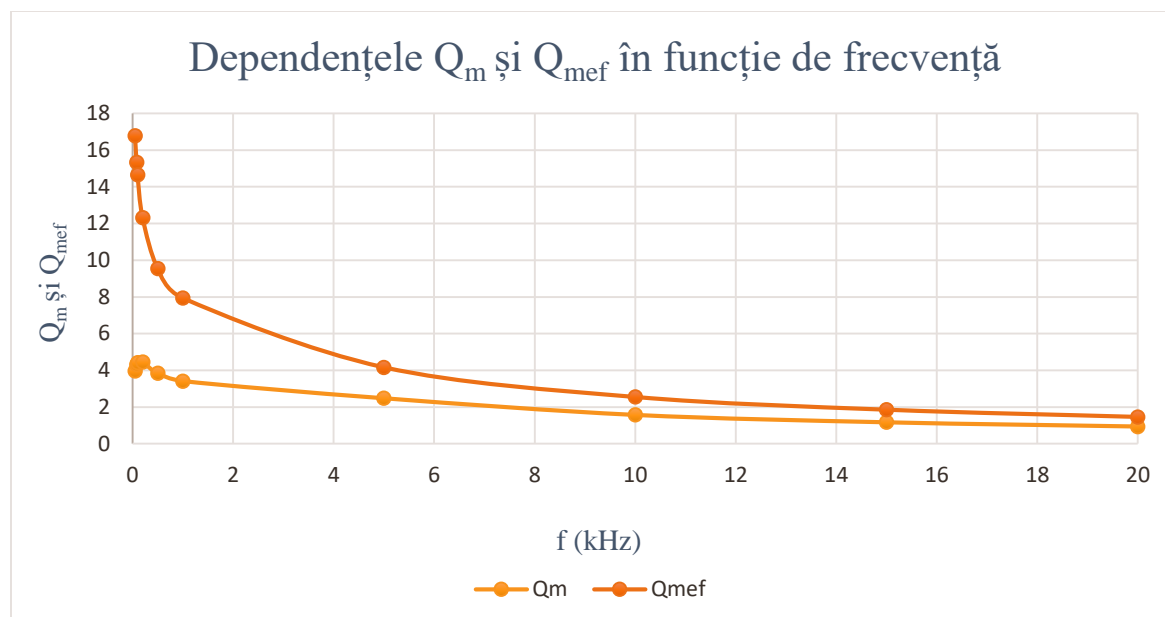
$$\mu'_{ef} = L_{md}/L_{m0}, \quad \mu''_{ef} = (R_{md} - R_{m0})/\omega L_{m0}, \quad Q_m = \mu'_{ef}/\mu''_{ef}.$$



Se observa ca valorile reale pentru cele doua bobine devin foarte apropiate pe masura ce frecventa incepe sa creasca.



Se observa ca valoarea reala a permitivitatii celor 2 bobine devine constanta pe masura ce frecventa creste.



Se observa ca dependența factorului de calitate al miezului magnetic pentru cele două bobine este relativ asemănătoare. Pentru frecvențe uzuale pentru aceste materiale (50 Hz, 100 Hz), Q_m tinde să crească și Q_{mef} scade, iar la frecvențe mari (10 kHz, 20 kHz), ambele tind să scadă, atingând valori foarte apropiate.

Tabel 6-3

F (kHz)		50	80	100	200	500	800	1000	1500	2000
Bobina L_{m1}	$L_{m1}(mH)$	0.2206	0.220	0,219	0.221	0.225	0.232	0.238	0.253	0.272
	$R_{m1}(\Omega)$	1.208	1.671	4.488	67.578	35.781	74.899	132.715	412.524	858.92
Bobina L_{01}	$L_{01}(mH)$	0.002	0.002	0.002	0.001	0.002	0.002	0.0019	0.0019	0.0019
	$R_{01}(\Omega)$	18.958	14.678	0.154	0.195	0.280	0.337	0.376	0.466	0.557
Calcule	k	1	1	1	1	1	1	1	1	1
	μ'	110,3	110	109,5	221	112,5	116	125,263	133,158	143,158
	μ''	28,264	12,945	3,450	5,3648	5,653	7,420	11,091	23,022	35,96
	Q	3,902	8,497	31,848	4,119	19,9	15,632	11,294	5,783	3,98

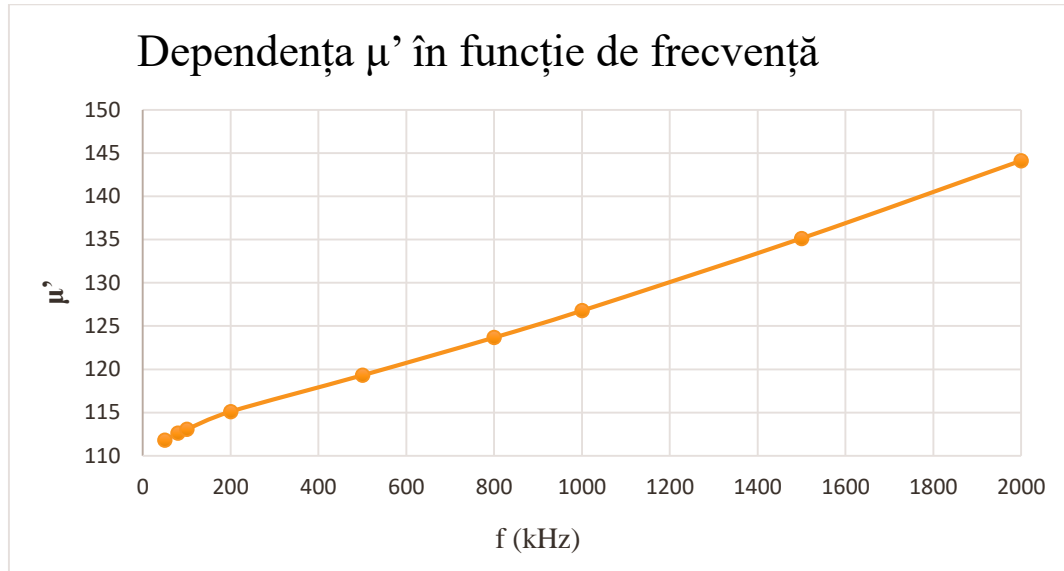
Pentru valorile la frecventele 50 si 80KHz am folosit modulul pentru valoarea permitivitatii magnetice imaginare.

Pentru a completa partea de calcule a tabelului am folosit urmatoarele formule:

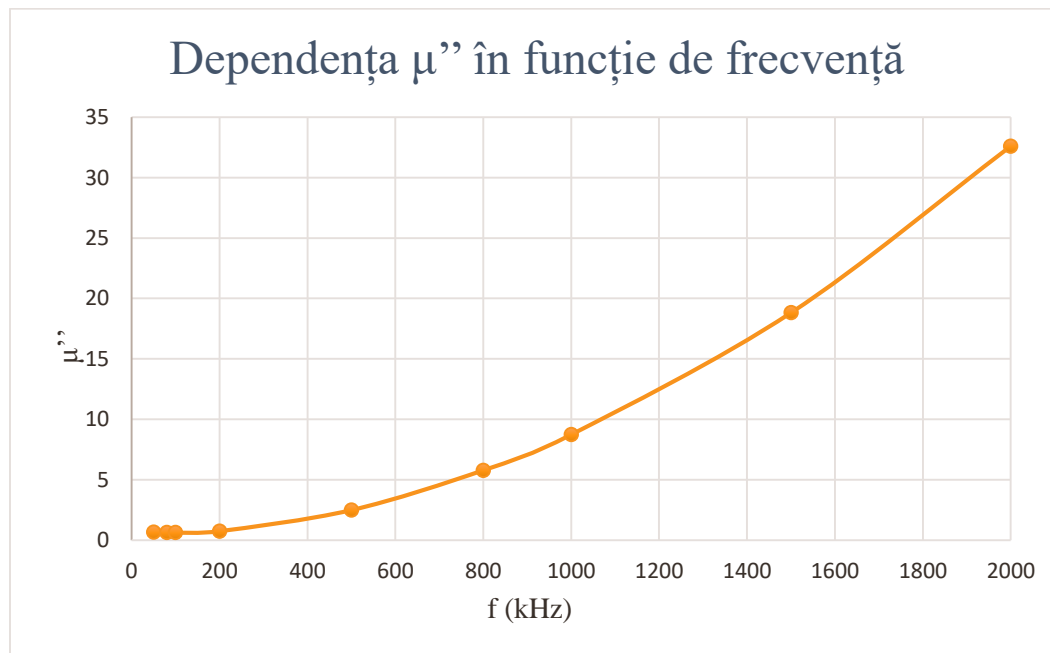
-partea reala a permeabilitatii magnetice relative : $\mu' = \frac{L}{k \cdot L_0}$

-partea imaginara a permeabilitatii magnetice relative: $\mu'' = \frac{R - R_0}{2\pi f \cdot L_0}$

-factorul de calitate: $Q_m = \frac{\mu'}{\mu''}$ / $Q_{mef} = \frac{\mu'_{ef}}{\mu''_{ef}}$



Se observa faptul ca valoarea partii reale a permitivitatii creste liniar cu cresterea frecventei.



Se observa ca de la valoarea de 500Khz valoarea imaginara incepe sa creasca liniar.

μ'_{03}	2.106	2.049	1.994	1.930	2.386	3.227	4.21	15.971	144.145
μ''_{03}	0.080	0.090	0.089	0.080	0.083	0.114	0.155	0.702	7.359
Q_{m03}	0.524	0.28	0.221	0.120	0.056	0.035	0.027	0.015	0.0097
μ'_{04}	20.302	20.972	21.410	24.144	47.328	-69.676	-20.757	-5.631	-2.494
μ''_{04}	0.041	0.044	0.045	0.091	1.683	8.92	1.130	0.138	0.018
Q_{m04}	488.15	474.8	469.19	264.89	28.11	-7.80	-18.363	-40.563	-136.314

$$\mu'_{03} = L_{03}/kL_{02}$$

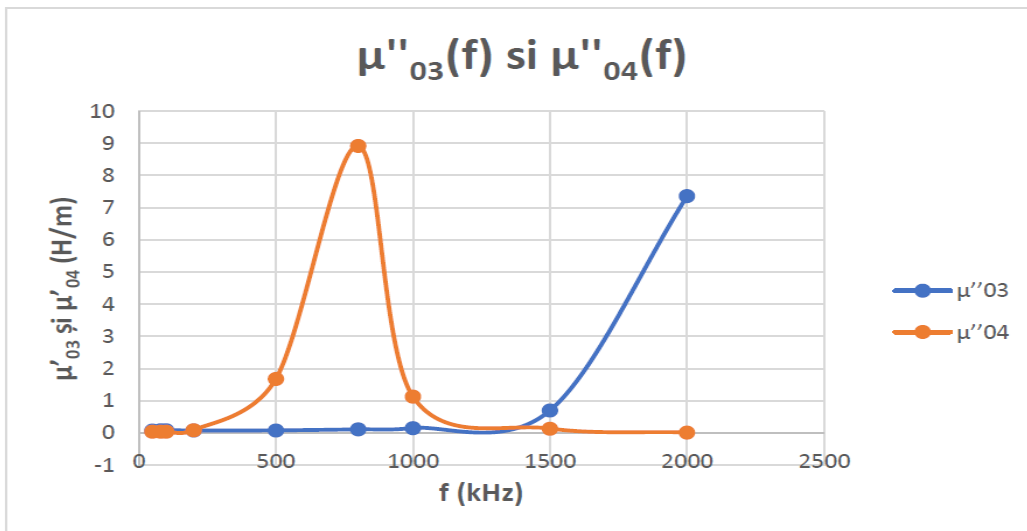
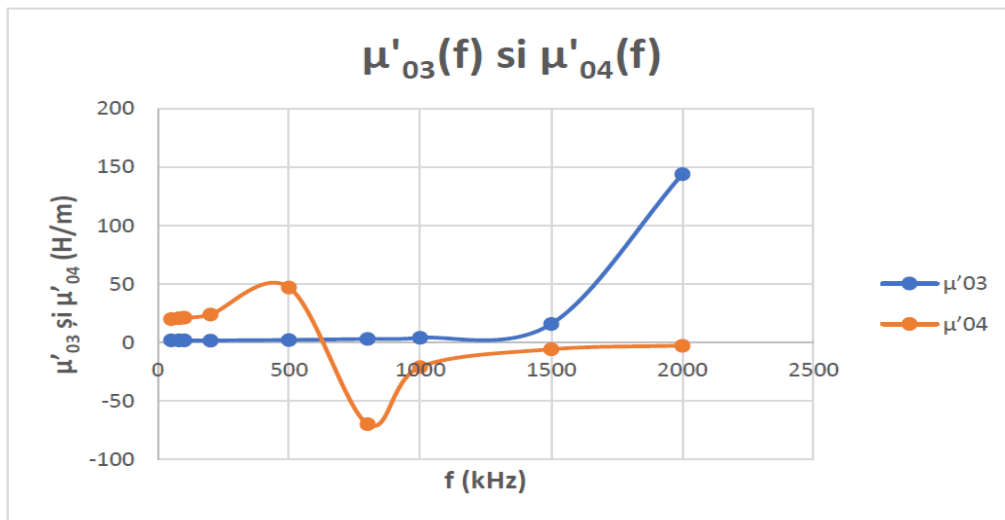
$$\mu''_{03} = (R_{03} - R_{02})/\omega L_{02}$$

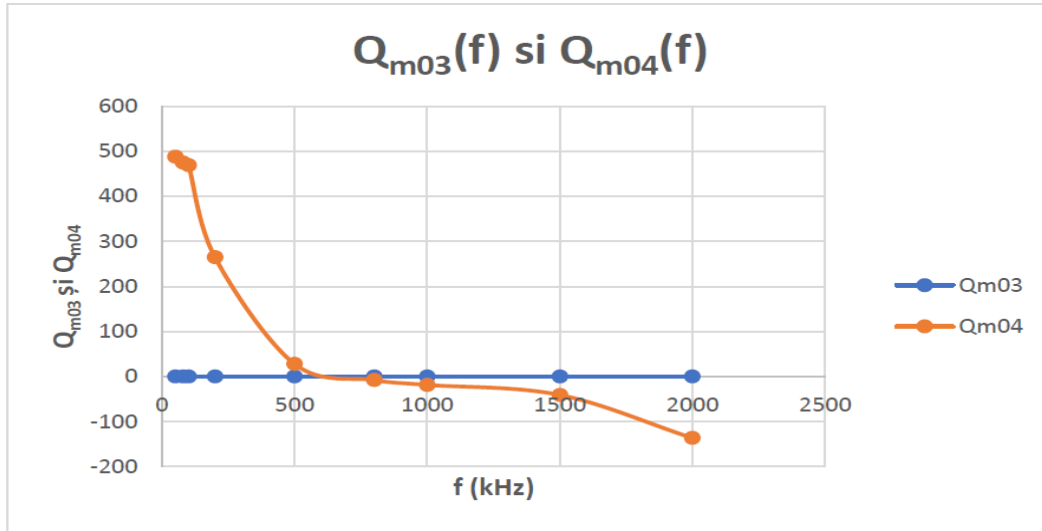
$$Q_{m03} = \mu'_{03}/\mu''_{03}$$

$$\mu'_{04} = L_{04}/kL_{02}$$

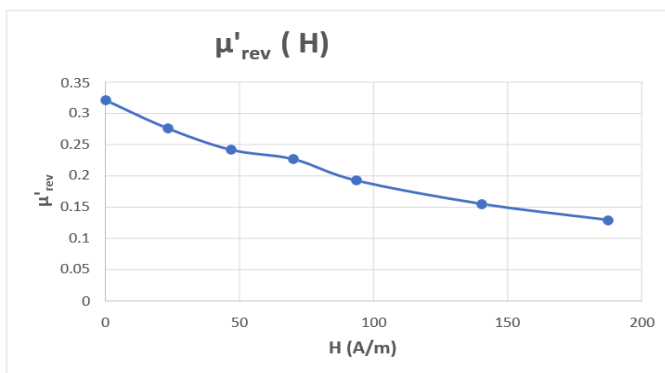
$$\mu''_{04} = (R_{04} - R_{02})/\omega L_{02}$$

$$Q_{m04} = \mu'_{04}/\mu''_{04}$$



**Tabel 6-4**

Înfășurarea L_{m2}	I_s [mA]	0	50	100	150	200	300	400
	L_{m2} [μH]	170	146	128	120	102	82190	68669
Calcul	H [A/m]	0	2340583	4681166	7021749	9362332	140435	1872466
	μ'_{rev}	0.321111	0.275778	0.241778	0.226667	0.192667	0.155248	0.129708



$$H = \frac{N_s I_s}{l_e} \quad L_{o2} = \mu_o \frac{N_p^2 A_e}{l_e} \quad \mu'_{rev} = \frac{L_{m2}}{L_{o2}}$$

Se observa ca valorile μ'_{rev} scad pe masura ce H creste.

3. Calculul parametrilor doteului de substituție pentru miezul de tip eolă 18×11 cu dimensiunile:

$$2r_1 = 32 \text{ mm}, \quad 2r_2 = 58 \text{ mm}, \quad 2r_3 = 15,4 \text{ mm}, \\ 2r_4 = 18 \text{ mm}, \quad l_1 = l_3 = 7,7 \text{ mm}; \quad h = 13 \text{ mm}.$$

$$A_1 = \pi(r_4^2 - r_3^2) = \pi(81 - 59,29) = 68,169 \text{ mm}^2 \Rightarrow$$

$$\Rightarrow \boxed{A_1 = 68,169 \text{ mm}^2}$$

$$A_3 = \pi(r_2^2 - r_1^2) = \pi(841 - 256) \Rightarrow \boxed{A_3 = 1836,9 \text{ mm}^2}$$

$$\frac{l_2}{A_2} = \frac{1}{\pi \cdot h} \cdot \ln \frac{r_3}{r_2} \Rightarrow \frac{l_2}{A_2} = \frac{1}{\pi \cdot 13} \cdot \ln \frac{7,7}{29} =$$

$$= \frac{1}{40,82} \cdot \underbrace{\ln 0,265}_{-1,32} = -0,032 \Rightarrow l_2 = -0,032 \cdot A_2$$

$$\frac{l_2}{A_2^2} = \frac{1}{2\pi^2 h^2} \cdot \frac{r_3 - r_2}{r_3 \cdot r_2} \Rightarrow \frac{-0,032 A_2}{A_2^2} = \frac{1}{2 \cdot 9,18 \cdot 169}.$$

$$\cdot \frac{7,7 - 29}{7,7 \cdot 29} \Rightarrow -\frac{0,032}{A_2} = -\frac{21,3}{3332,68 \cdot 223,3} \Rightarrow$$

$$\Rightarrow 21,3 A_2 = 23813,998 \Rightarrow \boxed{A_2 = 1118,028 \text{ mm}^2}$$

$$\boxed{l_2 = 35,446 \text{ mm}}$$

$$\Delta_2 = \sqrt{\frac{\pi_3^2 + \pi_4^2}{2}} - \pi_3 = \sqrt{\frac{59,29 + 81}{2}} - 7,7 = 0,675 \text{ mm}$$

$$\Rightarrow \boxed{\Delta_2 = 0,675 \text{ mm}}$$

$$A_4 = \frac{\pi}{2} (\pi_4^2 - \pi_3^2 + 2\pi_3 h) = \frac{\pi}{2} (81 - 59,29 + 200,2) =$$

$$= \frac{\pi}{2} \cdot 221,91 \Rightarrow \boxed{A_4 = 348,398 \text{ mm}^2}$$

$$A_5 = \frac{\pi}{2} (\pi_2^2 - \pi_1^2 + 2\pi_2 h) = \frac{\pi}{2} (841 - 256 + 2 \cdot 29 \cdot 13) =$$

$$= \frac{\pi}{2} \cdot 1339 \Rightarrow \boxed{A_5 = 2102,23 \text{ mm}^2}$$

$$\Delta_1 = \pi_2 - \sqrt{\frac{\pi_2^2 + \pi_1^2}{2}} = 29 - \sqrt{\frac{1097}{2}} = 29 - \sqrt{548,5} =$$

$$= 29 - 23,42 \Rightarrow \boxed{\Delta_1 = 5,58 \text{ mm}}$$

$$l_5 = \frac{\pi}{4} (2\Delta_1 + h) = \frac{\pi}{4} (2 \cdot 5,58 + 13) = \frac{\pi}{4} \cdot 24,16 \Rightarrow$$

$$\Rightarrow \boxed{l_5 = 18,965 \text{ mm}}$$

$$l_4 = \frac{\pi}{4} (2\Delta_2 + h) = \frac{\pi}{4} (1,35 + 13) = 11,264 \text{ mm} \Rightarrow$$

$$\Rightarrow \boxed{l_4 = 11,264 \text{ mm}}$$

4. Concluzii

În lucrarea prezentată se observă efectul întrefierului acesta reducând magnetizarea, rezultând valori mult mai scăzute pentru μ' în cazul bobinei L_{md} . De asemenea, pentru această bobină și valorile μ'' și pentru factorul de calitate sunt mai reduse.

În cazul bobinei cu miez, atât μ' cât și μ'' cresc odată cu frecvența.

Valori negative pentru μ' în cazul bobinelor L_{03} și L_{04} apar deoarece s-a depășit frecvența de rezonanță, iar ~~magnetizarea~~ acestea nu se mai magnetizează.

Se observă că atunci când μ' scade foarte mult, μ'' crește și se scade.

Comportarea celor 3 tipuri de bobine (cu miez, fără miez și cu miez întrefier) s-a analizat urmărind caracteristicile permeabilității complexe relative magnetice și a factorului de calitate în funcție de frecvență.

5. Întrebări la probleme.

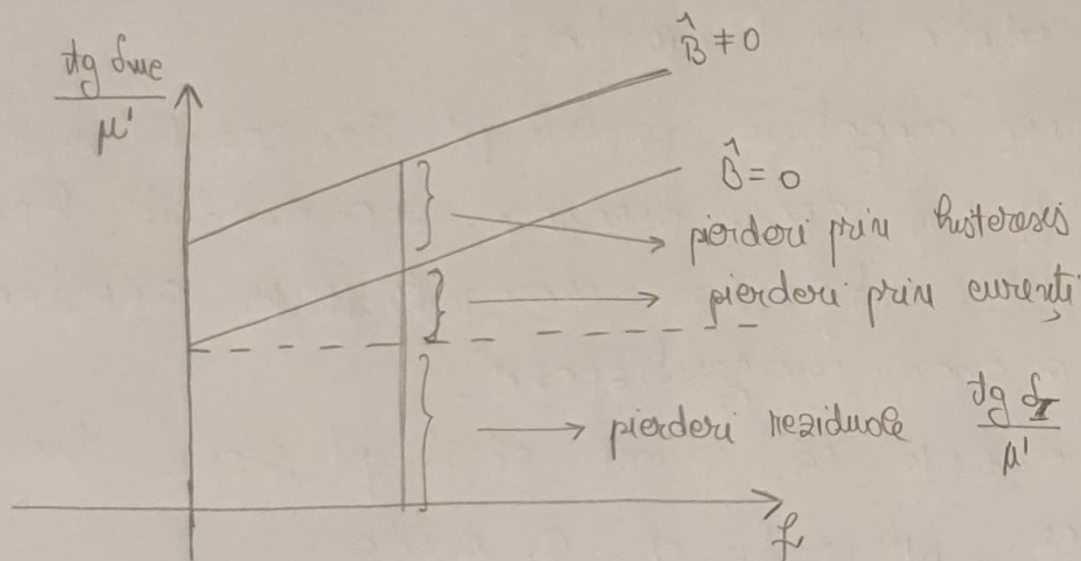
1.

$$\frac{\operatorname{tg} \delta_m}{\mu'_e} = \frac{1}{2\pi} (a \cdot \hat{B}_e + e \cdot f + c)$$

$$B \approx 0 \Rightarrow \frac{\operatorname{tg} \delta_{me}}{\mu'_e} = \frac{1}{2\pi} (ef + c)$$

$$\operatorname{tg} \delta_{me} = \frac{1}{Q} = \frac{R}{\omega L} \begin{cases} 80 \text{ Hz} \Rightarrow 0,004 \\ 500 \text{ Hz} \Rightarrow 0,02 \end{cases}$$

$$\begin{cases} e = 2,5 \cdot 10^{-6} \\ c = -1,63 \cdot 10^{-6} \end{cases} \Rightarrow$$



2. Identificare bobină cu miez. mag. întrefier.

$$f \ll 1e \Rightarrow \mu'_e = \frac{C_1}{\frac{f}{A_s} + \frac{C_1}{\mu'}} \quad (\text{pt. b cu întrefier})$$

$$\mu'_e = \mu \quad (\text{pt. bobina fără întrefier})$$

6. Pentru o bobină cu inductanță $L = 100 \mu\text{H}$ și rezistența serie de pierderi $r = 0,85 \Omega$ să se calculeze factorul de calitate și tangenta unghiului de pierderi la frecvențele de 100 Hz și 250 kHz .

$$L = 100 \mu\text{H}, \quad r = 0,85 \Omega$$

$$Q = \frac{\omega L}{r} = \frac{2\pi f \cdot L}{r}$$

$$Q_1 = \frac{2\pi \cdot 100 \cdot 100 \cdot 10^{-6}}{0,85} = 0,074$$

$$Q_2 = \frac{2\pi \cdot 250 \cdot 10^3 \cdot 100 \cdot 10^{-6}}{0,85} = 184,7$$

$$\text{tg } \delta = \frac{1}{Q_1} = \frac{1}{0,074} = 13,531$$

$$\text{tg } \delta = \frac{1}{Q_2} = \frac{1}{184,7} = 0,0054$$

* se observă că factorul de calitate crește odată cu frecvența.

7. Pentru o bobină cu valoarea nominală de $L = 125 \text{ mH}$, frecvența proprie de rezonanță $f_R = 135 \text{ kHz}$ și rezistența serie de pierdere $R = 27 \Omega$, să se calculeze capacitatea parazită a bobinei și factorul de calitate al acesteia la frecvența de lucru de 23 kHz .

$$L = 125 \text{ mH}, \quad f_R = 135 \text{ kHz}, \quad R = 27 \Omega.$$

$$f = 23 \text{ kHz}.$$

$$Q_R = \frac{1}{2\pi \sqrt{L \cdot C_p}} \Rightarrow f_R \cdot 2\pi \cdot \sqrt{L \cdot C_p} = 1 \Rightarrow$$

$$\Rightarrow 4\pi^2 \cdot f_R^2 \cdot L \cdot C_p = 1 \Rightarrow C_p = \frac{1}{4\pi^2 \cdot f_R^2 \cdot L} \Rightarrow$$

$$\Rightarrow C_p = \frac{1}{4\pi^2 \cdot 135^2 \cdot 10^6 \cdot 125 \cdot 10^{-3}} = 1,388 \cdot 10^{-12} \text{ F} \Rightarrow$$

$$\Rightarrow C_p = 1,388 \text{ pF}.$$

$$Q = \frac{\omega L}{R} = \frac{2\pi f \cdot L}{R} = \frac{2\pi \cdot 23 \cdot 10^3 \cdot 125 \cdot 10^{-3}}{27} = 669,04$$